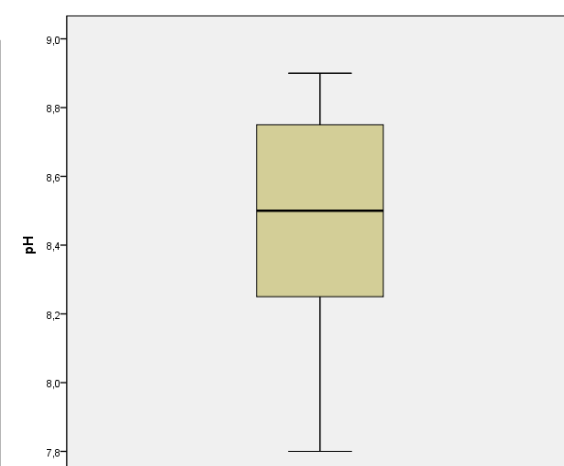


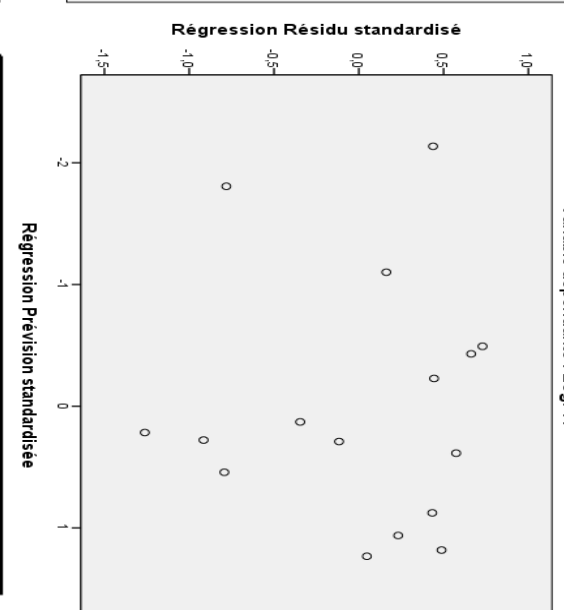
# Statistiques descriptives

	N	Intervalle	Minimum	Maximum	Moyenne	Ecart type	Variance
pH	16	1,1	7,8	8,9	8,456	,3076	,095
Cs	16	167,4	227,9	395,3	303,731	44,9447	2020,024
O2	16	83,0	10,8	93,8	67,288	27,0876	733,740
DB	16	35,8	1,3	37,1	8,394	9,5432	91,073
Ox	16	8,6	,6	9,2	2,681	2,3034	5,306
N4	16	13,8	,0	13,8	2,937	4,3311	18,759
N3	16	13,6	,9	14,5	4,600	3,2467	10,541
P4	16	7,8	,0	7,8	1,956	2,4058	5,788
TE	16	13,7	1,0	14,7	7,275	4,9083	24,091
DE	16	432,2	23,8	456,0	164,194	121,8578	14849,321
N valide (listwise)	16						



## Matrice de corrélation

		pH	Cs	O2	DB	Ox	N4	N3	P4	TE	DE
Corrélation	pH	1,000	-,728	,667	-,620	-,605	-,724	-,013	-,672	-,162	,179
	Cs	-,728	1,000	-,555	,804	,800	,844	,166	,874	-,142	-,388
	O2	,667	-,555	1,000	-,689	-,724	-,766	,114	-,654	-,332	,310
	DB	-,620	,804	-,689	1,000	,952	,960	-,104	,901	,042	-,267
	Ox	-,605	,800	-,724	,952	1,000	,920	-,226	,832	,055	-,291
	N4	-,724	,844	-,766	,960	,920	1,000	-,044	,931	,113	-,331
	N3	-,013	,166	,114	-,104	-,226	-,044	1,000	,250	-,230	-,220
	P4	-,672	,874	-,654	,901	,832	,931	,250	1,000	-,042	-,285
	TE	-,162	-,142	-,332	,042	,055	,113	-,230	-,042	1,000	-,099
	DE	,179	-,388	,310	-,267	-,291	-,331	-,220	-,285	-,099	1,000



## Récapitulatif des modèles<sup>b</sup>

Modèle	R	R-deux	R-deux ajusté	Erreur standard de l'estimation	Durbin-Watson
1	,863 <sup>a</sup>	,745	,363	,02931	3,155

a. Valeurs prédites : (constantes), DE, TE, DB, N3, O2, Cs, Ox, P4, N4

b. Variable dépendante : LogPH

## ANOVA<sup>b</sup>

Modèle	Somme des carrés	ddl	Moyenne des carrés	D	Sig.
1 Régression	,015	9	,002	1,948	,215 <sup>a</sup>
Résidu	,005	6	,001		
Total	,020	15			

a. Valeurs prédites : (constantes), DE, TE, DB, N3, O2, Cs, Ox, P4, N4

b. Variable dépendante : LogPH

Coefficients<sup>a</sup>

Modèle	Coefficients non standardisés			t	Sig.
	A	Erreur standard	Bêta		
1 (Constante)	2,306	,128		18,038	,000
Cs	-,001	,000	-,860	-1,620	,156
O2	,000	,001	,368	,939	,384
DB	,001	,004	,244	,212	,839
Ox	,009	,015	,588	,622	,557
N4	-,007	,012	-,871	-,636	,548
N3	,001	,006	,054	,106	,919
P4	,005	,020	,341	,267	,798
TE	-,001	,002	-,108	-,421	,688
DE	-6,522E-5	,000	-,216	-,784	,463

a. Variable dépendante : LogPH

Variance totale expliquée

Composante	Extraction Sommes des carrés des facteurs retenus		
	Total	% de la variance	% cumulés
1	5,801	58,011	58,011
2	1,483	14,833	72,844
3	1,070	10,698	83,542
4	,730	7,300	90,842
5	,435	4,350	95,191
6	,300	2,998	98,189
7	,098	,981	99,171
8	,049	,487	99,657
9	,022	,221	99,878
10	,012	,122	100,000

Méthode d'extraction : Analyse en composantes principales.

Qualité de représentation

	Extraction
pH	,618
Cs	,889
O2	,774
DB	,924
Ox	,917
N4	,964
N3	,813
P4	,930
TE	,853
DE	,670

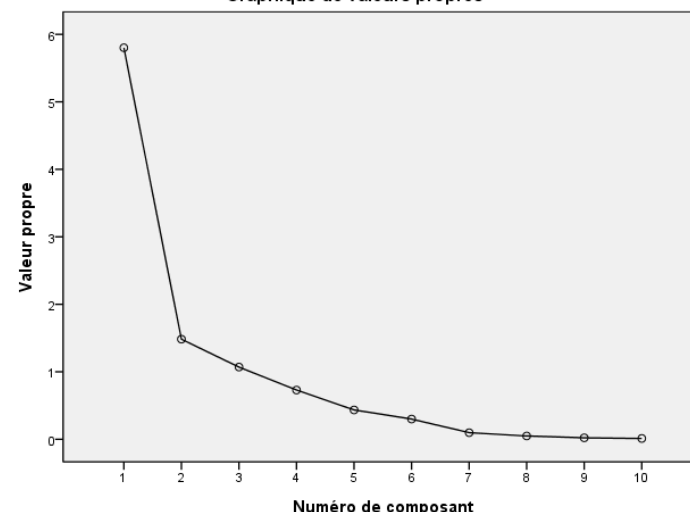
Qualité de représentation

	Extraction
pH	,756
Cs	,889
O2	,784
DB	,934
Ox	,956
N4	,964
N3	,959
P4	,946
TE	,918
DE	,977

Qualité de représentation

	Extraction
pH	,980
Cs	,910
O2	,786
DB	,974
Ox	,969
N4	,974
N3	,993
P4	,983
TE	,955
DE	,997

Graphique de valeurs propres

**Corrélations reproduites**

b. Les résidus sont calculés entre la covariance observée et la covariance reproduite. Il y a 16 (35,0%) résidus non redondants avec des valeurs absolues supérieures à 0,05.

**Corrélations reproduites**

b. Les résidus sont calculés entre la covariance observée et la covariance reproduite. Il y a 9 (20,0%) résidus non redondants avec des valeurs absolues supérieures à 0,05.

**Corrélations reproduites**

b. Les résidus sont calculés entre la covariance observée et la covariance reproduite. Il y a 2 (4,0%) résidus non redondants avec des valeurs absolues supérieures à 0,05.

**Matrice des composantes<sup>a</sup>**

	Composante		
	1	2	3
pH	-,782	,068	,037
Cs	,895	,288	,073
O2	-,803	,301	,198
DB	,944	-,048	,175
Ox	,930	-,137	,185
N4	,980	-,043	,050
N3	,003	,817	-,381
P4	,932	,240	,061
TE	,097	-,705	-,589
DE	-,387	-,244	,678

Méthode d'extraction : Analyse en composantes principales.

**Matrice des composantes après rotation<sup>a</sup>**

	Composante		
	1	2	3
pH	-,764	-,085	,165
Cs	,891	,267	,155
O2	-,758	-,041	,445
DB	,960	-,031	-,025
Ox	,949	-,101	-,081
N4	,973	,067	-,110
N3	-,072	,835	,333
P4	,926	,247	,107
TE	-,002	-,053	-,922
DE	-,259	-,703	,329

Méthode d'extraction : Analyse en composantes principales.

Méthode de rotation : Varimax avec normalisation de Kaiser.

**Indice KMO et test de Bartlett**

Mesure de précision de l'échantillonnage de Kaiser-Meyer-Olkin.		,734
Test de sphéricité de Bartlett	Khi-deux approximé	148,356
	ddl	45
	Signification de Bartlett	,000

